

รายการอ้างอิง

1. Walter, W. Handbook of Organic Chemistry. England: Prentice Hall Europe, 1996
2. Ying, L.; Xu-Ming, X.; and Bao-Hua, G. Study on strene-assisted melt free-radical grafting of maleic anhydride onto polypropylene. Polymer 42(2001): 3419-3425
3. อรุยา สรวารี. สารเติมแต่งพอลิเมอร์. เล่มที่ 1. พิมพ์ครั้งที่ 1. กรุงเทพฯ: โรงพิมพ์แห่งจุฬาลงกรณ์มหาวิทยาลัย, 2546
4. วิมลวรรณ พิมพ์พันธุ์. การดัดแปรพอลิเมอร์. กรุงเทพฯ: จุฬาลงกรณ์มหาวิทยาลัย, 2546
5. Sathe, S.N.; Rao, G.S.S.; Devi, S. Grafting of maleic anhydride onto polypropylene : synthesis and characterization. Journal of Applied Polymer Science 53(1994): 239-245
6. Sclavons, M.; Franqunit, P.; Carlier, V.; Verfaillie, G.; Fallais, I.; Legras, R.; Laurent, M.; Thyron, F.c. Quantification of maleic anhydride graft onto polypropylene by chemical and viscometric titrations and FTIR spectroscopy. Polymer 41(2000): 1989-1999
7. Dean, S.; Yang, J.; Yao, Z., Wang, Y.; Huang, H.; Jing, W.; Yin, J.; Costa, G. Functionalization of isotactic polypropylene with maleic anhydride by reactive extrusion : mechanism of melt grafting. Polymer 42(2001): 5549-5557
8. Bettini, S.H.P.; Agneli, J.A.M. Evaluation of methods used for analyzing maleic anhydride grafted onto polypropylene by reactive processing. Polymer Testing 19(2000): 3-15
9. Gaylord, C.N.C.; Mishra, M.K. Nondegradative reaction of maleic anhydride and molten polypropylene in the presence of peroxides. Journal of Polymer Science : Polymer Letters Edition 21(1983) : 23-30
10. เสาวรจน์ ช่วยจุลจิตรี. Special Topic in Polymer Materials. กรุงเทพฯ: จุฬาลงกรณ์มหาวิทยาลัย
11. Compo, I.; Arribas, J.M.; Zaporta, M.A.M.; Marco, C.; Gomez, M.A.; Fatou, J.G. Crystallization kinetics of polypropylene-polyamide compatibilized blends. Europe Polymer Journal 31(1995) : 475-480
12. Duvall, J.; Sellitti, C.; Myers, C.; Hiltner, A.; Baer, E. Effect of compatibilization on the properties polypropylene/polyamide- 66 (75/25 wt/wt) Blends. Journal of Applied Polymer Science 52(1994): 195-206

13. Malcolm, B.S. Polymer chemistry : An Introduction. 3rd ed., New York: Oxford University Press, 1999
14. Tedesco, A.; Barbosa, R.V.; Nachtigall, S.M.B.; Mauler, R.S. Comparative study of PP-MA and PP-GMA as compatibilizing agents on polypropylene/nylon 6 blends. Polymer Testing 21(2002): 11-15
15. ดวงหทัย เพ็ญตระกูล. เคมีเชิงฟิสิกส์ของพอลิเมอร์. กรุงเทพฯ: จุฬาลงกรณ์มหาวิทยาลัย, 2547
16. Brandrup, J. Polymer Handbook. New York : John Wiley & Sons, 1975
17. พัชรียา สุริยะไชย. พอลิเมอร์ผสมของยางธรรมชาติกราฟต์ด้วยไกลซิดิลเมทาคริเลตและ สไตรีน/พอลิเมทาคริเลต. วิทยานิพนธ์ปริญญาโทมหาบัณฑิต, สาขาปิโตรเคมีและ วิทยาศาสตร์พอลิเมอร์ คณะวิทยาศาสตร์ จุฬาลงกรณ์มหาวิทยาลัย. 2544
18. Metha, I.K.; Kumar, S.; Chauhan, G.S.; Misra, B.N. Grafting onto isotactic polypropylene III Gamma rays induced graft copolymerization of water soluble vinyl monomer. Journal of Applied Polymer Science 41(1990): 1171-1180
19. Roeder, J.; Oliveria, R.V.B.; Goncalves, M.C.; Soldi, V.; Pires, A.T.N. Polypropylene/ polyamide-6 blends : Influence of compatibilizing agent on interface domains. Polymer Testing 21(2002) : 815-821
20. วิชัย ธีวตระกูล; และคณะ. การประยุกต์สเปกโตรสโคปีในเคมีอินทรีย์. พิมพ์ครั้งที่ 2. กรุงเทพฯ : นำอักษรการพิมพ์, 2527
21. แม้น อมรสิทธิ์; อมร เพชรสม. Principles and Technique of Instrumental Analysis. กรุงเทพฯ: จุฬาลงกรณ์มหาวิทยาลัย, 2534
22. Vandeberg, J.T. An Infrared Spectroscopy Atlas for the Coating Industry. Pennsylvania : Federation of Societies for coating technology, 1980
23. John, A. Lange's handbook of Chemistry. 15th ed., New York : McGraw-Hill, 1999
24. อุดมศักดิ์ พาที. ผลของอัตราส่วนผสมต่อการดูดซึมน้ำ สมบัติเชิงกลและสมบัติทางความร้อน ของพอลิเมอร์ผสมระหว่างไนลอน 6 และพอลิโพรพิลีนโคพอลิเมอร์. วิทยานิพนธ์ ปริญญาโทมหาบัณฑิต, สาขาวิชาวิทยาศาสตร์พอลิเมอร์ประยุกต์และเทคโนโลยีสิ่งทอ, คณะวิทยาศาสตร์ จุฬาลงกรณ์มหาวิทยาลัย. 2544

ภาคผนวก

ภาคผนวก ก

ตารางที่ ก-1 เปร้เซ้นต์ผลิตผลจากการสังเคราะห์มาเลอิกแอนไฮโดรด์กราฟต์พอลิโพรพิลีน
ที่ภาวะต่างๆ

ภาวะที่	พอลิโพรพิลีน (%w/v)	เบนโซอิลเปอร์ออกไซด์ (%w/v)	มาเลอิกแอนไฮโดรด์ (%w/v)	เวลา (ชั่วโมง)	% ผลิตผล
1	2.5	0.10	1.25	6	69.5
2	2.5	0.10	1.25	8	63.3
3	2.5	0.15	1.25	6	60.6
4	2.5	0.15	1.25	8	64.3
5	2.5	0.30	1.25	6	62.0
6	2.5	0.30	1.25	8	62.2
7	2.5	0.10	2.50	6	49.0
8	2.5	0.10	2.50	8	53.8
9	2.5	0.15	2.50	6	48.7
10	2.5	0.15	2.50	8	49.6
11	2.5	0.30	2.50	6	47.3
12	2.5	0.30	2.50	8	49.8
13	2.5	0.15	1.25	6	65.0

* ภาวะที่ 1- 12 ใช้พอลิโพรพิลีนเกรด P600F ที่มีดัชนีการไหล 10 g/10 min

ภาวะที่ 13 ใช้พอลิโพรพิลีนเกรด P401S ที่มีดัชนีการไหล 2.4 g/10 min

ตารางที่ ก-2 เปอร์เซ็นต์การกราฟต์ของมาเลอิกแอนไฮไดรด์กราฟต์พอลิโพรพิลีนที่ภาวะต่างๆ และทางการค้า

ภาวะที่	พอลิโพรพิลีน (% w/v)	เบนโซอิลเปอร์ออกไซด์ (% w/v)	มาเลอิกแอนไฮไดรด์ (% w/v)	เวลา (ชั่วโมง)	เปอร์เซ็นต์การกราฟต์
1	2.5	0.10	1.25	6	0.75 ±0.02
2	2.5	0.10	1.25	8	0.73 ±0.05
3	2.5	0.15	1.25	6	0.87 ±0.06
4	2.5	0.15	1.25	8	0.79 ±0.05
5	2.5	0.30	1.25	6	0.70 ±0.04
6	2.5	0.30	1.25	8	0.67 ±0.03
7	2.5	0.10	2.50	6	0.74 ±0.04
8	2.5	0.10	2.50	8	0.69 ±0.02
9	2.5	0.15	2.50	6	0.76 ±0.02
10	2.5	0.15	2.50	8	0.73 ±0.03
11	2.5	0.30	2.50	6	0.66 ±0.05
12	2.5	0.30	2.50	8	0.62 ±0.01
13	2.5	0.15	1.25	6	0.82 ±0.01
ทางการค้า	-	-	-	-	0.72 ±0.05

* ภาวะที่ 1- 12 ใช้พอลิโพรพิลีนเกรด P600F ที่มีดัชนีการไหล 10 g/10 min

ภาวะที่ 13 ใช้พอลิโพรพิลีนเกรด P401S ที่มีดัชนีการไหล 2.4 g/10 min

1. วิธีการคำนวณค่าเปอร์เซ็นต์การกราฟต์ของมาเลอิกแอนไฮไดรด์กราฟต์พอลิโพรพิลีน
ขั้นตอนการทำปฏิกิริยาจากการไทเทรต

1) มาเลอิกแอนไฮไดรด์ทำปฏิกิริยากับโพแทสเซียมไฮดรอกไซด์

2) โพแทสเซียมไฮดรอกไซด์ที่มากเกินไปทำปฏิกิริยากับไตรคลอโรอะซีติก

สมมติให้ปริมาตรของไตรคลอโรอะซีติกที่ใช้ในการไทเทรตมีปริมาตร 11.40 มิลลิลิตร

สารตัวอย่างที่ใช้หนัก 1.0018 กรัม

มาเลอิกแอนไฮไดรด์ที่น้ำหนักโมเลกุลเท่ากับ 98.06 กรัม/โมล

จำนวนโมลของโพแทสเซียมไฮดรอกไซด์ = (โมลาร์ x ปริมาตร) / 1000

$$= (0.05 \times 10) / 1000 \quad \text{โมล}$$

$$= 5 \times 10^{-4} \quad \text{โมล}$$

จำนวนโมลของไตรคลอโรอะซีติกที่ทำปฏิกิริยาพอดีกับโพแทสเซียมไฮดรอกไซด์

$$= (0.03 \times \text{ปริมาตรของไตรคลอโรอะซีติกที่ใช้ในการไทเทรต}) / 1000$$

$$= (0.03 \times 11.40) / 1000 \quad \text{โมล}$$

$$= 3.42 \times 10^{-4} \quad \text{โมล}$$

สมมติให้โพแทสเซียมไฮดรอกไซด์ที่ทำปฏิกิริยากับไตรคลอโรอะซีติกเท่ากับ y โมล

ซึ่งโพแทสเซียมไฮดรอกไซด์ทำปฏิกิริยากับไตรคลอโรอะซีติกในอัตราส่วน 1:1 ดังนั้นจะได้

$$\text{โพแทสเซียมไฮดรอกไซด์} / \text{ไตรคลอโรอะซีติก} = 1/1 = y / 3.42 \times 10^{-4}$$

$$y = 3.42 \times 10^{-4} \quad \text{โมล}$$

∴ โพแทสเซียมไฮดรอกไซด์ที่ทำปฏิกิริยากับมาเลอิกแอนไฮไดรด์

$$= (5 \times 10^{-4}) - (3.42 \times 10^{-4}) \quad \text{โมล}$$

$$= 1.58 \times 10^{-4} \quad \text{โมล}$$

จากโมลของโพแทสเซียมไฮดรอกไซด์ = โมลของมาเลอิกแอนไฮไดรด์

∴ น้ำหนักของมาเลอิกแอนไฮไดรด์ในสารตัวอย่าง

$$= \{(1.58 \times 10^{-4}) / 2\} \times (98.06 \text{ กรัม/โมล})$$

$$= 7.75 \times 10^{-3} \quad \text{โมล}$$

สารตัวอย่าง 1.0018 กรัม มีมาเลอิกแอนไฮไดรด์ 7.75×10^{-3} กรัม

สารตัวอย่าง 100 กรัม มีมาเลอิกแอนไฮไดรด์ $\{(7.75 \times 10^{-3}) \times 100\} / 1.0018$ กรัม

$$= 0.77 \quad \text{กรัม}$$

∴ เปอร์เซ็นต์การกราฟต์ของมาเลอิกแอนไฮไดรด์กราฟต์พอลิโพรพิลีนเท่ากับ 0.77 เปอร์เซ็นต์

ภาคผนวก ข

ตารางที่ ข-1 ค่าความทนแรงดึงของพอลิเมอร์ผสมระหว่างพอลิโพรพิลีนและพอลิเอไมด์ 6 โดยใช้มาเลอิกแอนไฮไดรด์กราฟต์พอลิโพรพิลีนเป็นสารช่วยผสม

PP/PP-g-MAH/PA6	PP-g-MAH	ค่าเฉลี่ย (MPa)	ค่าเบี่ยงเบนมาตรฐาน
70/0/30	-	24.6	0.35
70/5/30	ทางการค้า	35.4	0.65
	MFI 10	33.8	0.28
	MFI 2.4	33.4	0.25
70/10/30	ทางการค้า	33.4	0.27
	MFI 10	35.3	0.51
	MFI 2.4	34.5	0.38
30/0/70	-	46.8	3.46
30/5/70	ทางการค้า	53.0	0.47
	MFI 10	49.6	0.51
	MFI 2.4	53.2	0.52

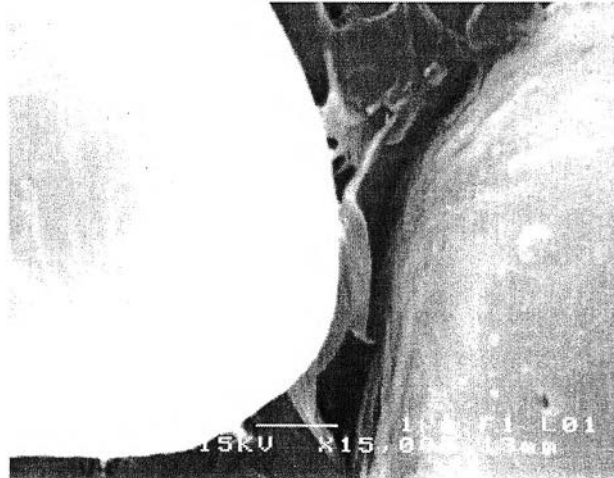
ตารางที่ ข-2 ค่าเปอร์เซ็นต์การยืคของพอลิเมอร์ผสมระหว่างพอลิโพรพิลีนและพอลิเอไมด์ 6 โดย
ใช้มาเลอิกแอนไฮไดรด์กราฟต์พอลิโพรพิลีนเป็นสารช่วยผสม

PP/PP-g-MAH/PA6	PP-g-MAH	ค่าเฉลี่ย	ค่าเบี่ยงเบนมาตรฐาน
70/0/30	-	12.2	0.60
70/5/30	ทางการค้า	11.5	0.85
	MFI 10	13.5	0.37
	MFI 2.4	14.4	0.89
70/10/30	ทางการค้า	13.1	0.56
	MFI 10	14.0	0.23
	MFI 2.4	13.7	0.34
30/0/70	-	18.2	1.57
30/5/70	ทางการค้า	18.3	1.72
	MFI 10	23.7	2.73
	MFI 2.4	23.0	1.51

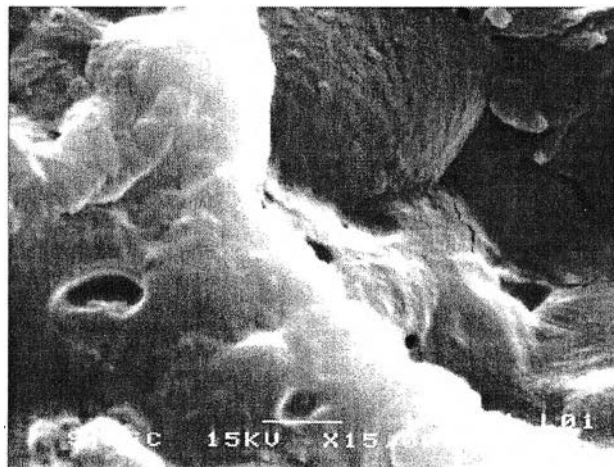
ตารางที่ ข-3 ค่ายังสัมมูล์ของพอลิเมอร์ผสมระหว่างพอลิโพรพิลีนและพอลิเอไมด์ 6 โดย
ใช้มาเลอิกแอนไฮไดรด์กราฟต์พอลิโพรพิลีนเป็นสารช่วยผสม

PP/PP-g-MAH/PA6	PP-g-MAH	ค่าเฉลี่ย (MPa)	ค่าเบี่ยงเบนมาตรฐาน
70/0/30	-	454.6	12.66
70/5/30	ทางการค้า	509.7	7.01
	MFI 10	471.9	12.47
	MFI 2.4	449.0	7.68
70/10/30	ทางการค้า	456.2	7.00
	MFI 10	465.1	9.46
	MFI 2.4	464.5	7.50
30/0/70	-	654.4	9.32
30/5/70	ทางการค้า	647.5	9.87
	MFI 10	612.0	8.55
	MFI 2.4	665.0	9.92

ภาคผนวก ค

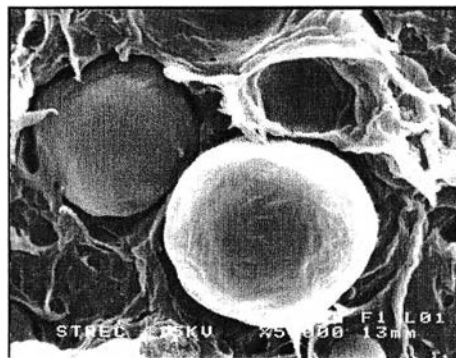


รูปที่ ค-1 สัณฐานวิทยาของพอลิเมอร์ผสมระหว่างพอลิโพรพิลีนและพอลิเอไมด์ 6 ในอัตราส่วน 70:30 ที่กำลังขยาย 15000 เท่า

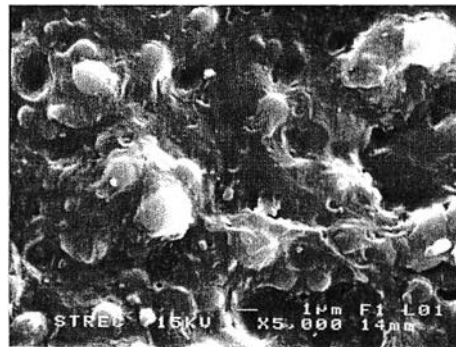


รูปที่ ค-2 สัณฐานวิทยาของพอลิเมอร์ผสมระหว่างพอลิโพรพิลีน/มาเลอิกแอนไฮไดรด์กราฟต์พอลิโพรพิลีน/พอลิเอไมด์ 6 ในอัตราส่วน 70/5/30 ที่กำลังขยาย 15000 เท่า

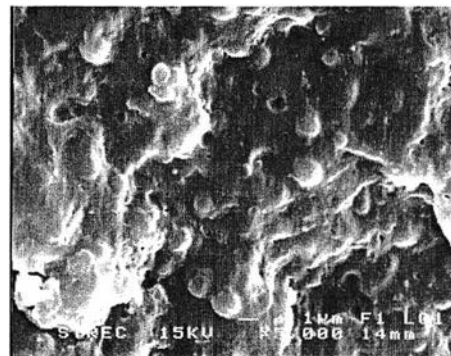
ก)



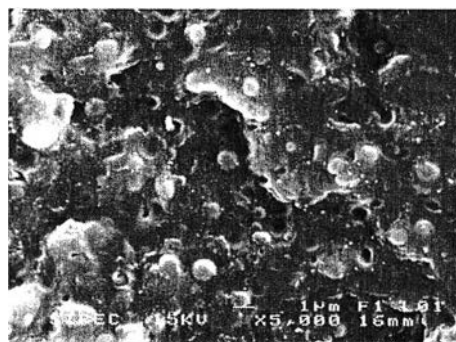
ข)



ค)



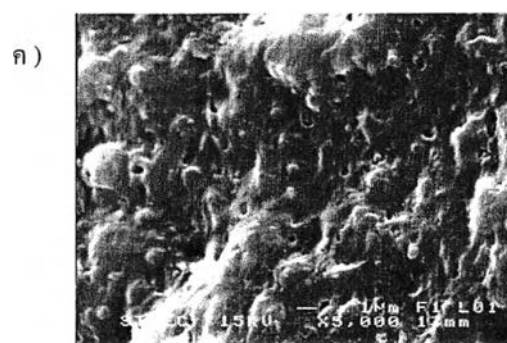
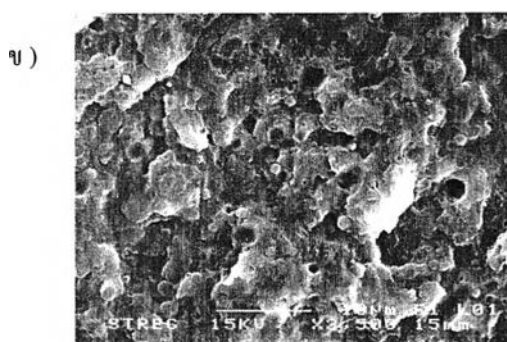
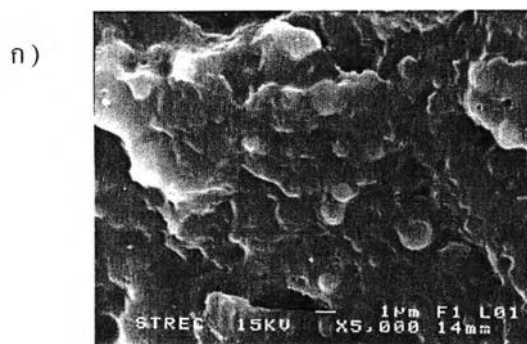
ง)



รูปที่ ค-3 สัณฐานวิทยาของพอลิเมอร์ผสมระหว่างพอลิโพรพิลีน/สารช่วยผสม/พอลิเอไมด์6

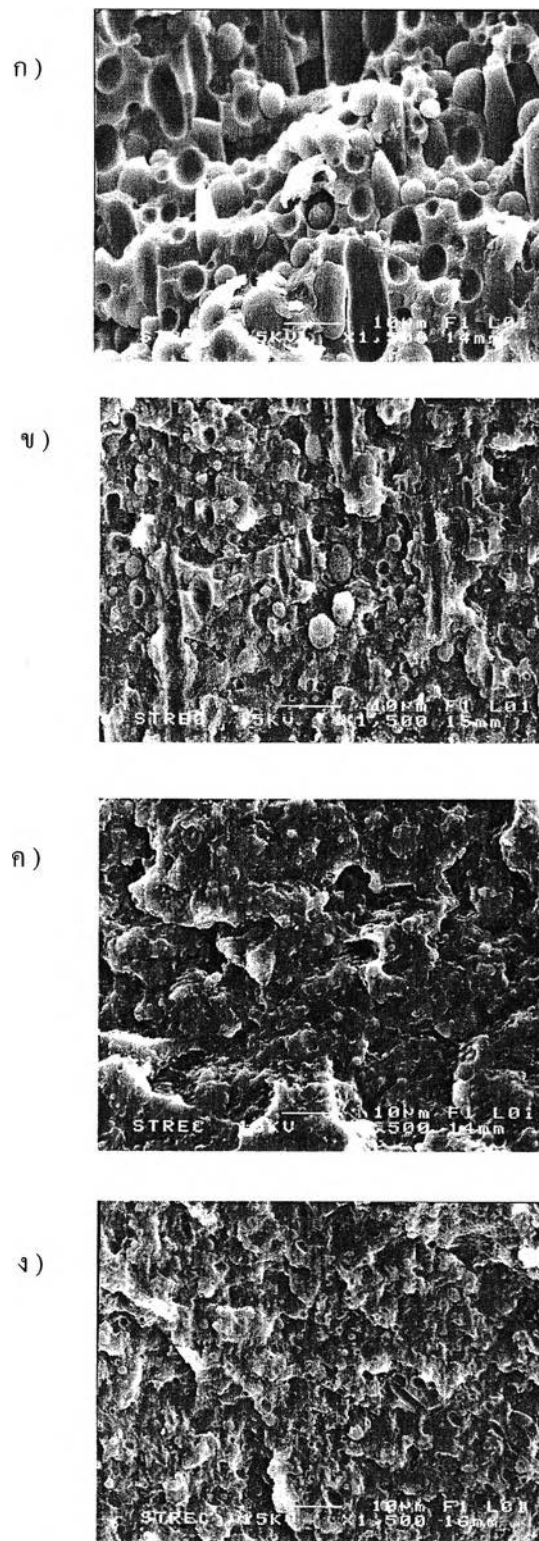
ก) 70/0/30 ข) 70/5(ทางการค้า)/30 ค) 70/5(MF110)/30 ง) 70/5(MF12.4)/30

ที่กำลังขยาย 5000 เท่า



รูปที่ ๓-4 สัณฐานวิทยาของพอลิเมอร์ผสมระหว่างพอลิโพรพิลีน/สารช่วยผสม/พอลิเอไมด์ 6

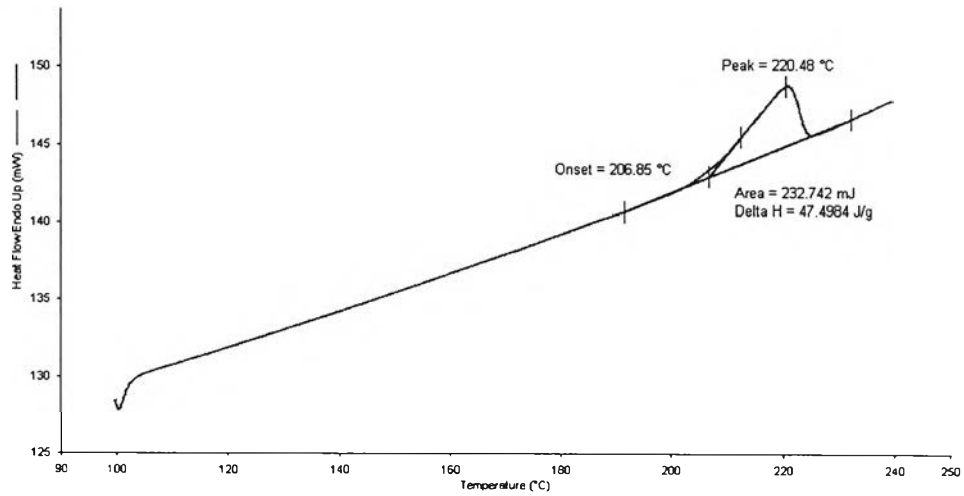
ก) 70/10(ทางการค้า)370 ข) 70/10(MFI 10)/30 ค) 70/10(MFI 2.4)/30 ที่กำลังขยาย 5000 เท่า



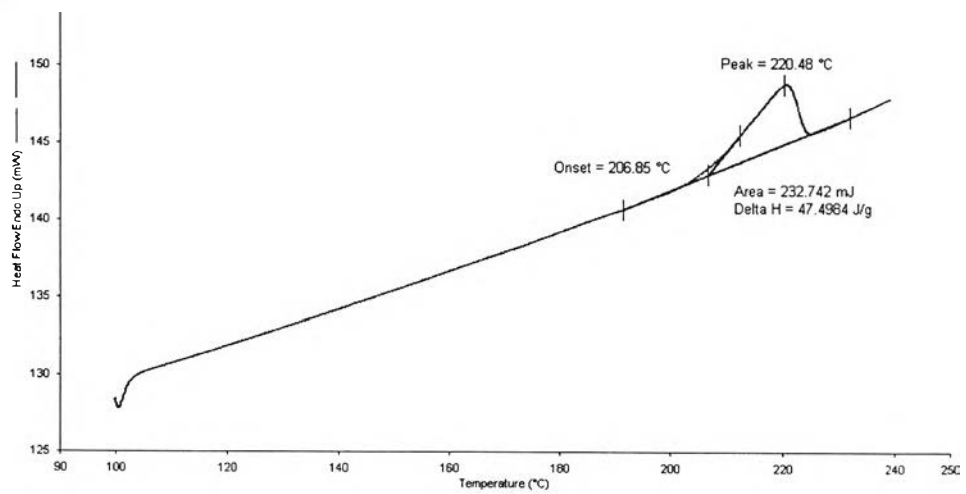
รูปที่ ค-5 สัณฐานวิทยาของพอลิเมอร์ผสมระหว่างพอลิโพรพิลีน/สารช่วยผสม/พอลิเอไมด์ 6
 ก) 30/0/70 ข) 30/5(ทางการค้า)/70 ค) 30/5(MFI 10)/70 ง) 30/5(MFI 2.4)/70
 ที่กำลังขยาย 1500 เท่า

ภาคผนวก ง

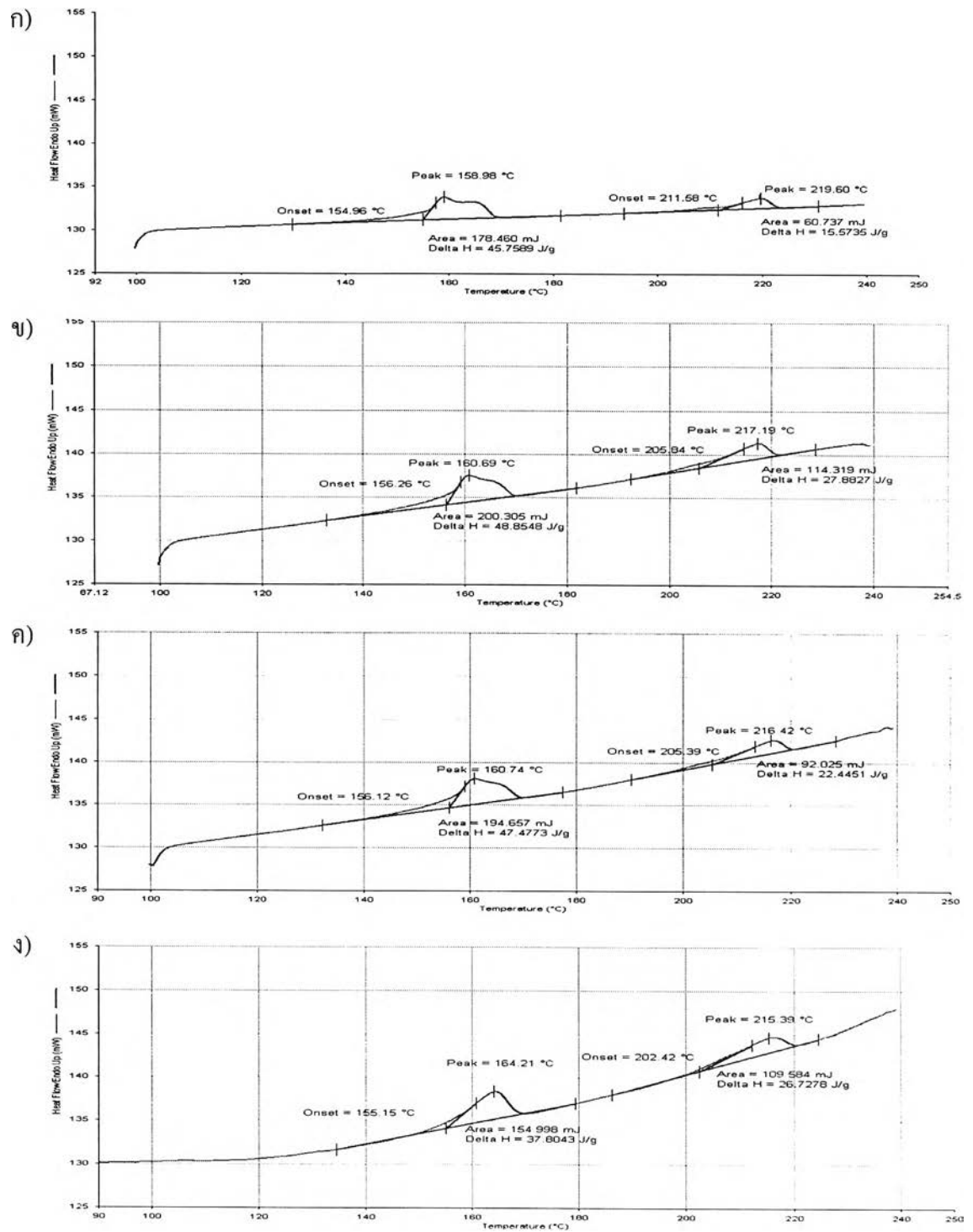
ก)



ข)

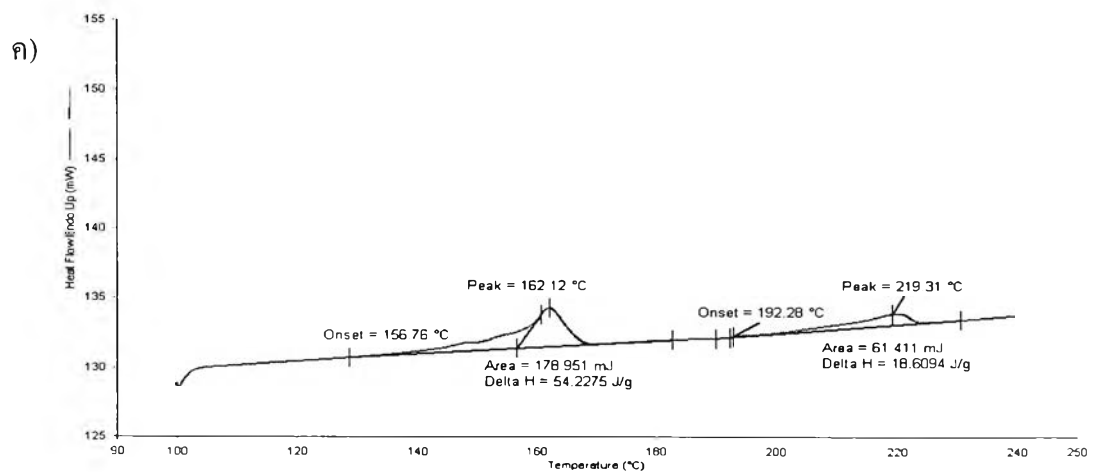
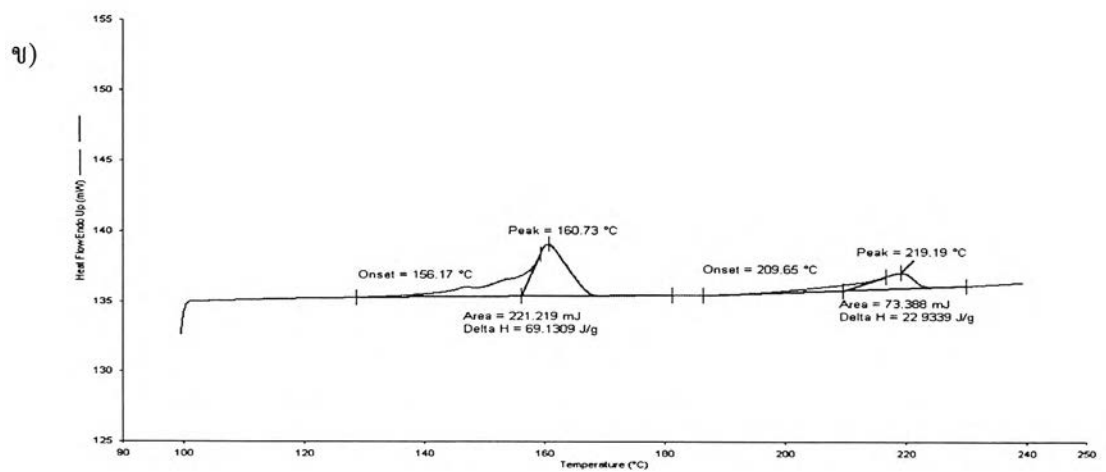
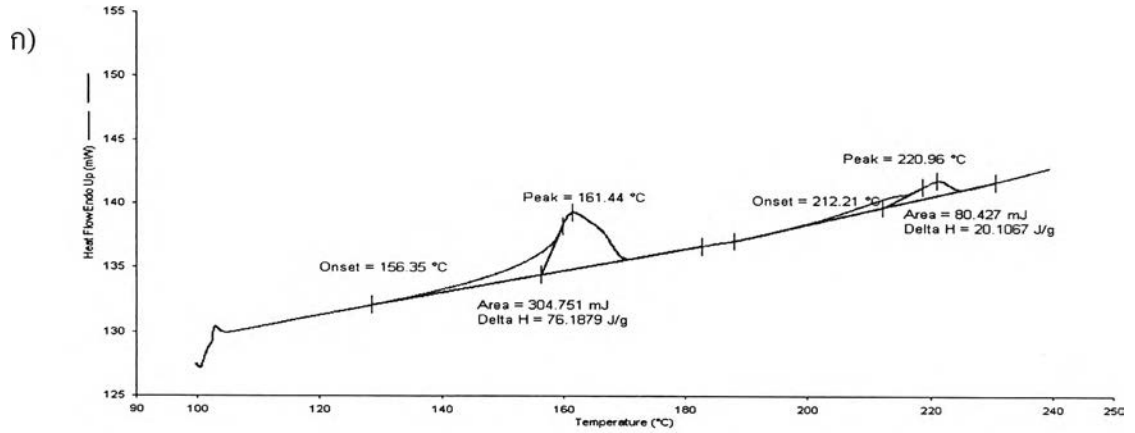


รูปที่ ง-1 DSC thermogram ก) พอลิโพรพิลีน (เกรดชนิด) ข) พอลิเอไมด์ 6

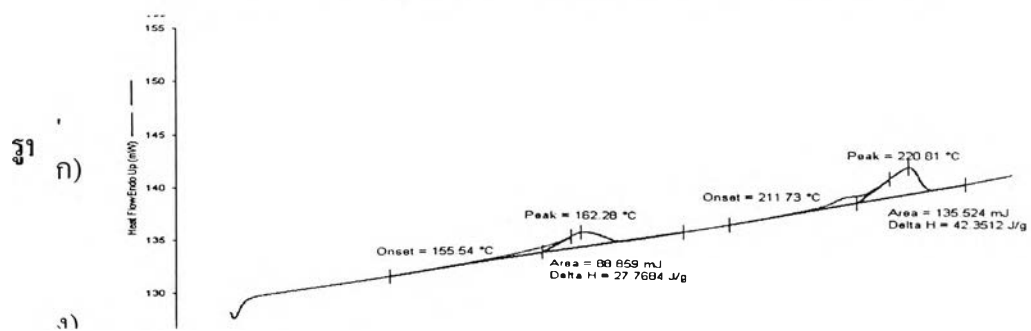


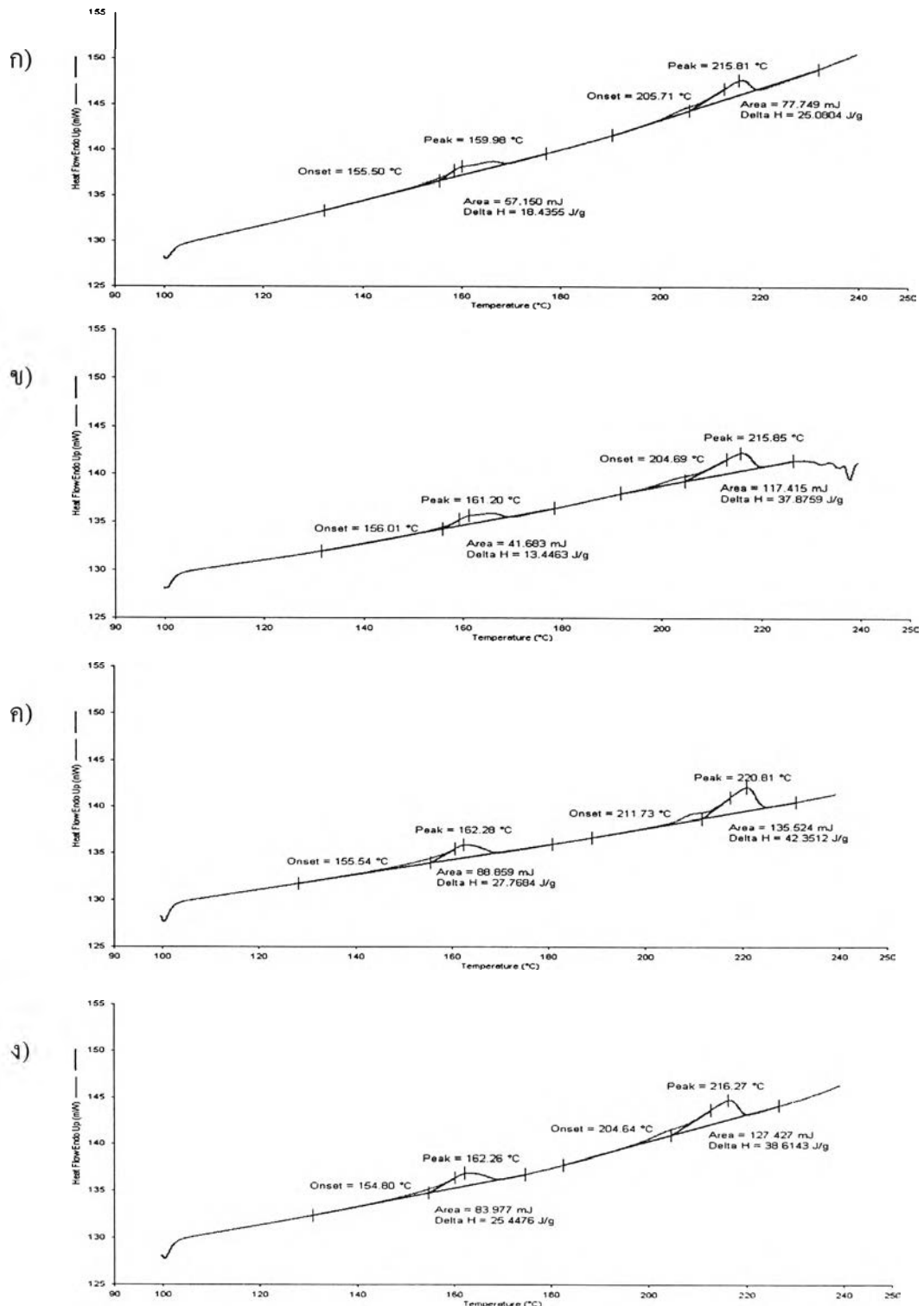
รูปที่ ๕-2 DSC thermogram ของระบบพอลิเมอร์ผสมระหว่างพอลิโพรพิลีน/สารช่วยผสม/ไนลอน 6

ก) 70/0/30 ข) 70/5(ทางการค้า)/30 ค) 70/5(MFI 10)/30 ง) 70/5(MFI 2.4)/30



รูปที่ 3 DSC thermogram ของระบบพอลิเมอร์ผสมระหว่างพอลิโพรพิลีน/สารช่วยผสม/พอลิเอไมด์ 6
 ก) 70/10(ทางการค้า)/30 ข) 70/10(MFI 10)/30 ค) 70/10(MFI 2.4)/30



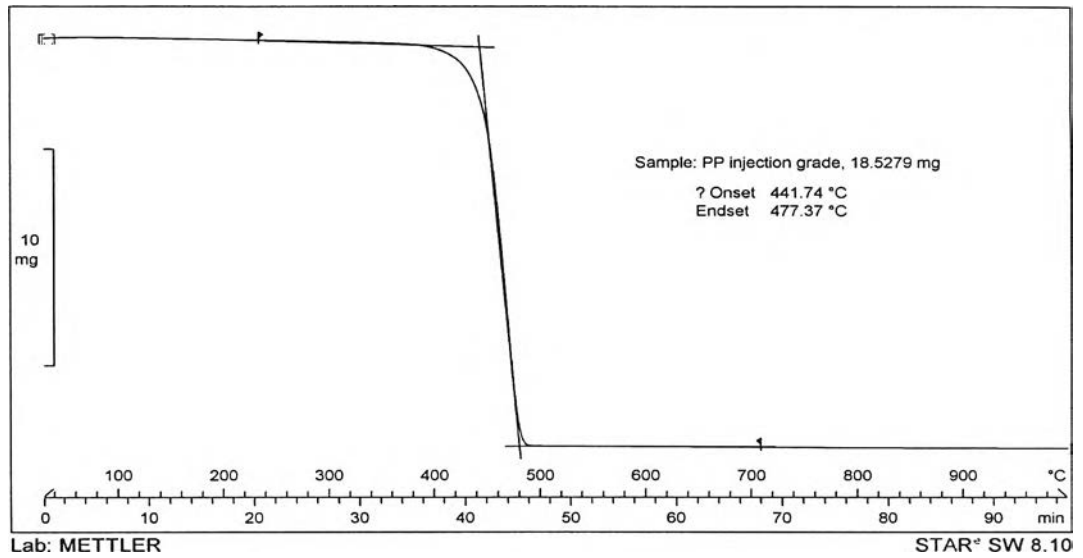


รูปที่ ง-4 DSC thermogram ของระบบพอลิเมอร์ผสมระหว่างพอลิโพรพิลีน/สารช่วยผสม/พอลิเอไมด์ 6

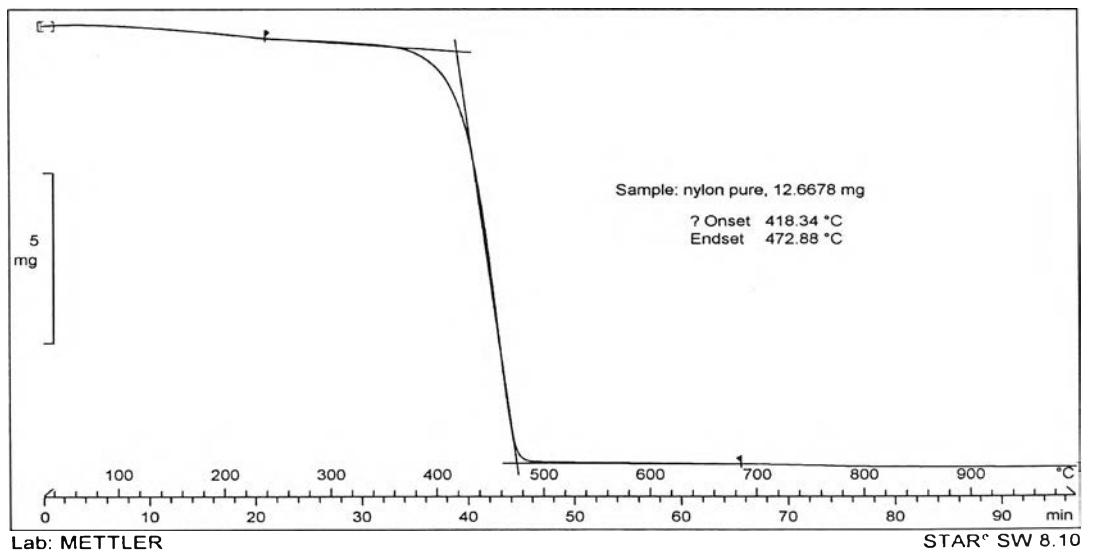
ก) 30/0/70 ข) 30/5(ทางการค้า)/70 ค) 30/5(MFI 10)/70 ง) 30/5(MFI 2.4)/70

ภาคผนวก จ

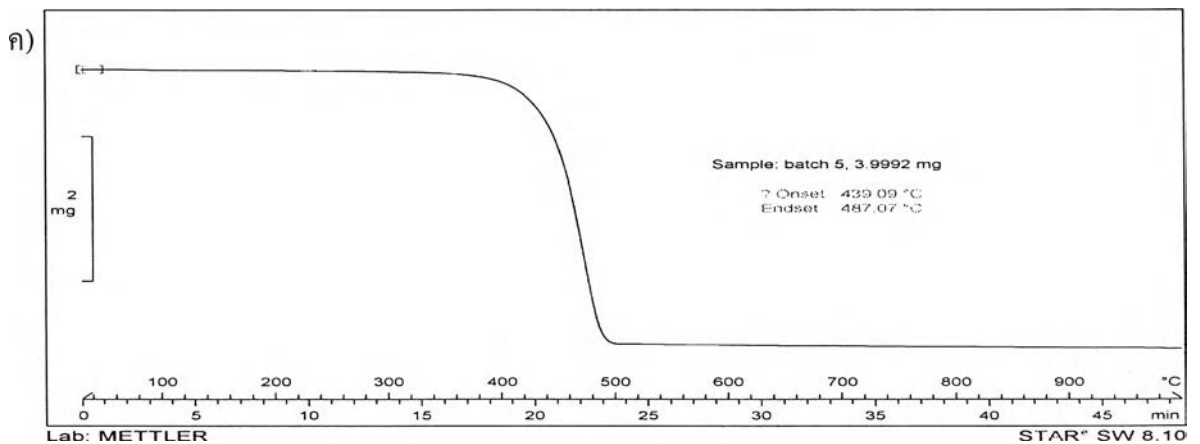
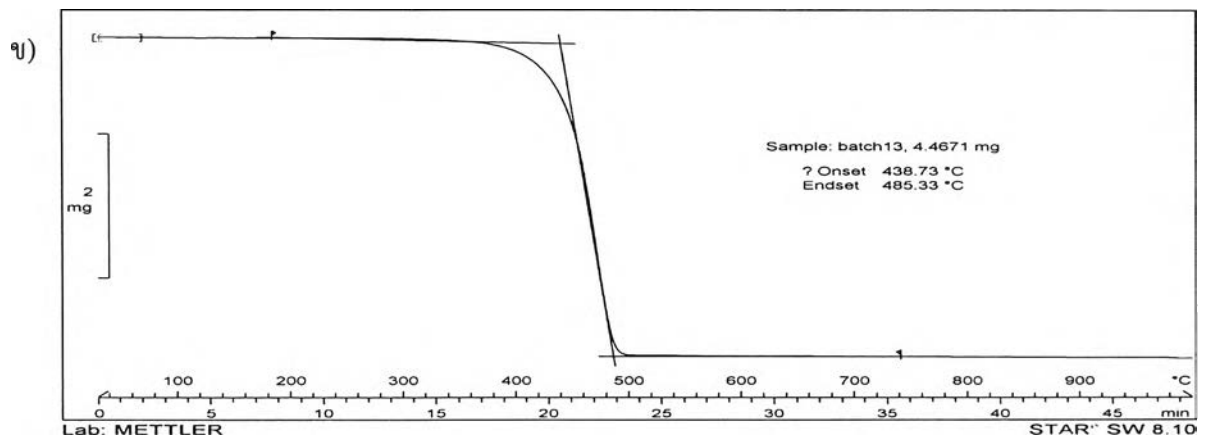
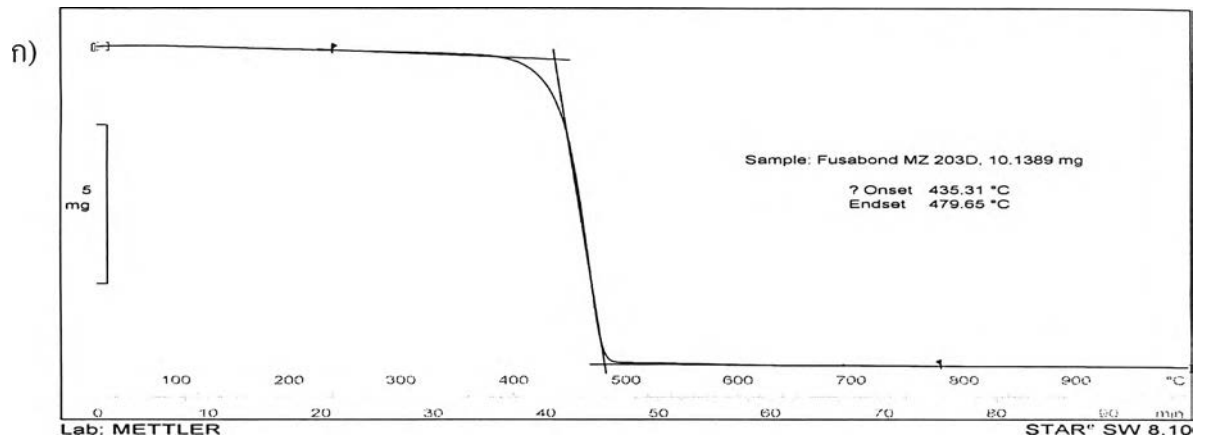
ก)



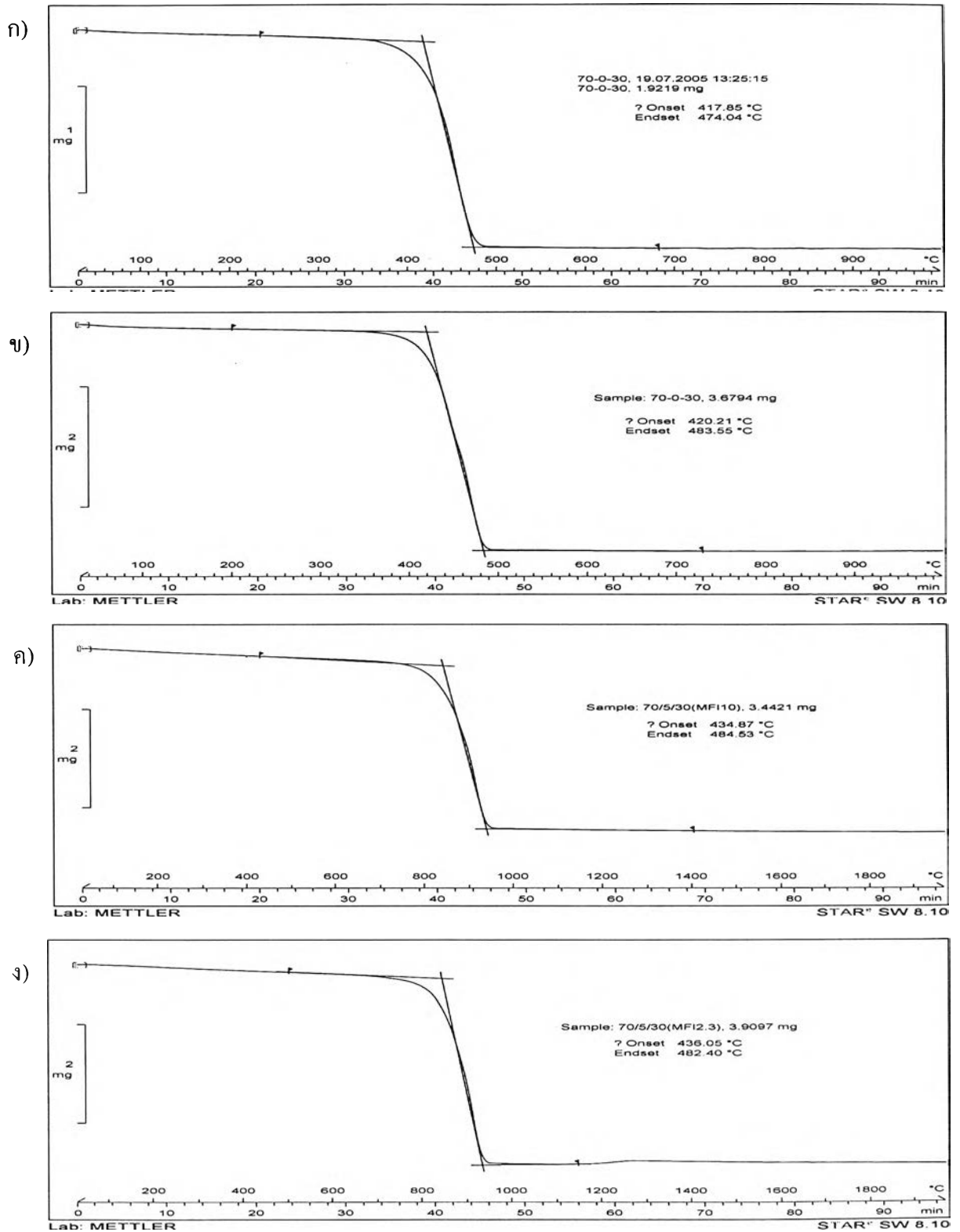
ข)



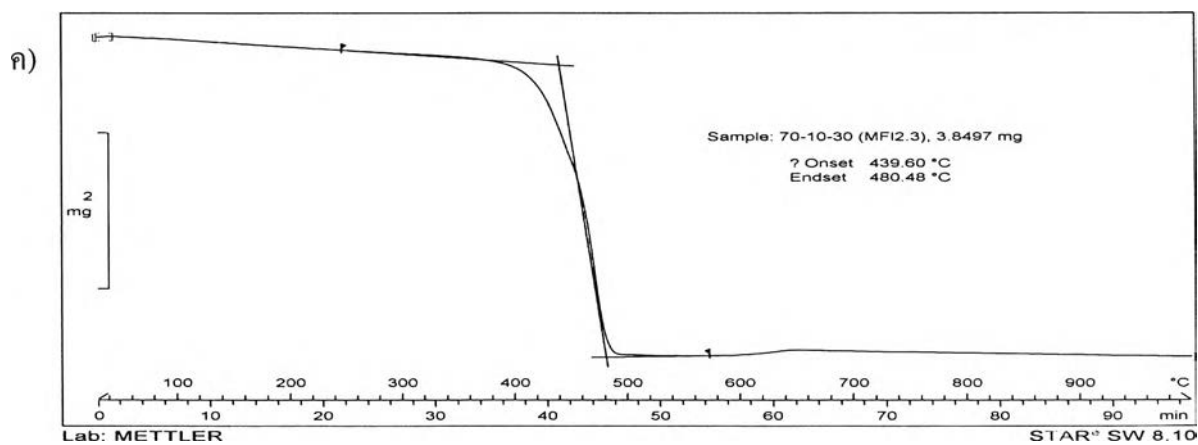
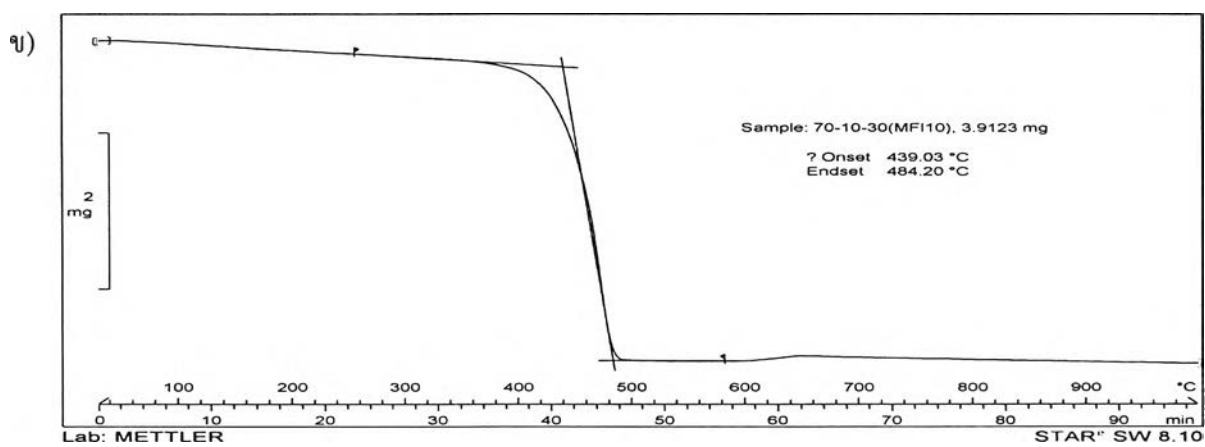
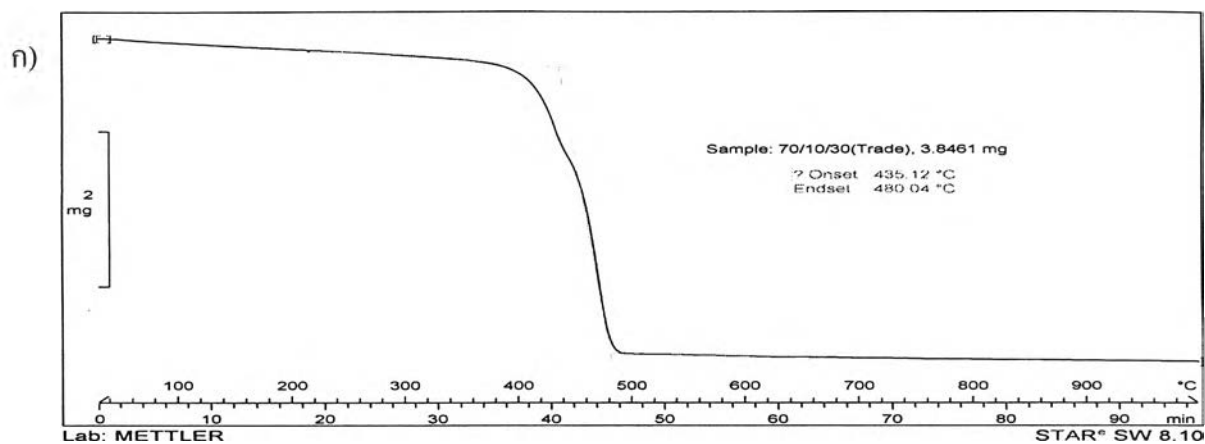
รูปที่ จ-1 กราฟจากการทดสอบด้วยเทคนิค TGA ก) พอลิโพรพิลีน (เกรดฉีด) ข) พอลิเอไมด์ 6



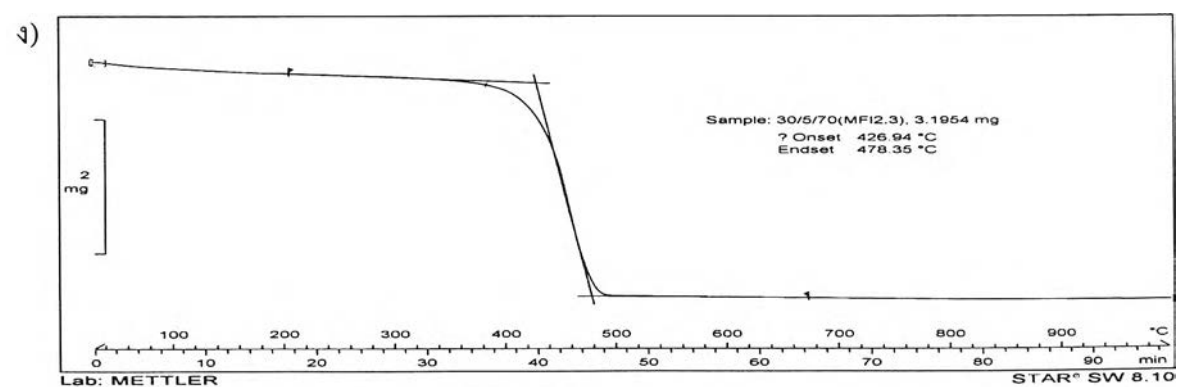
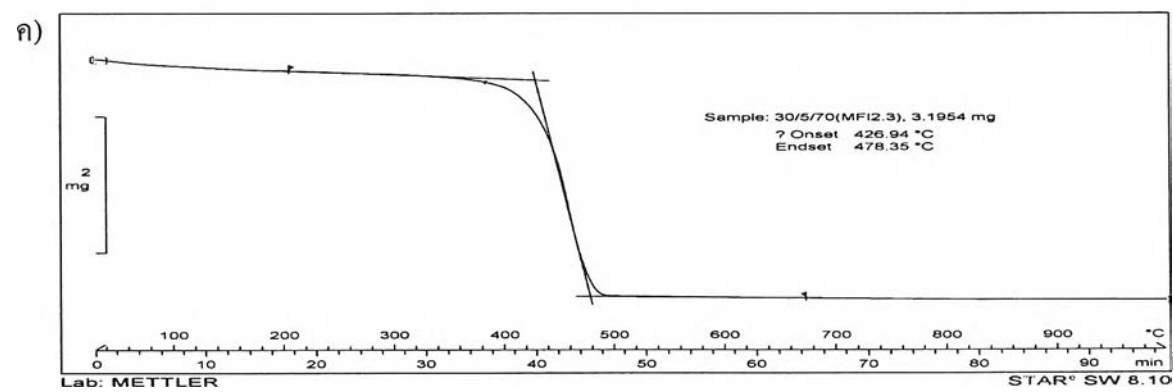
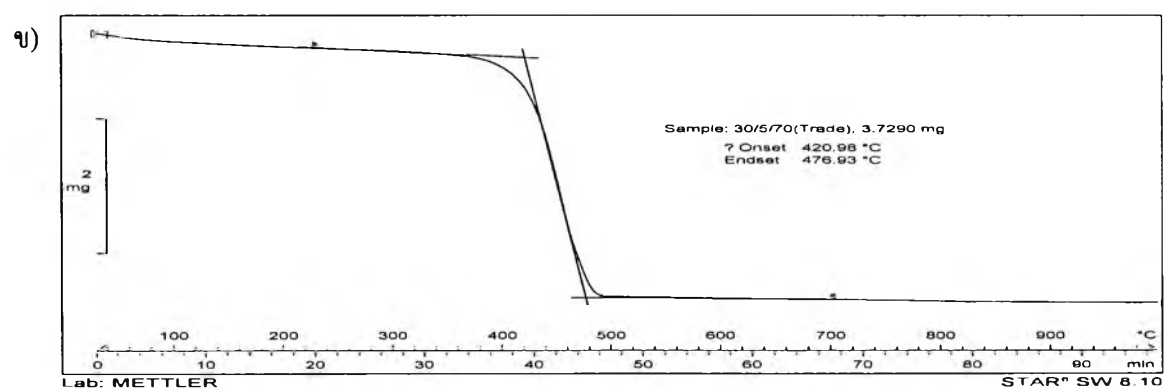
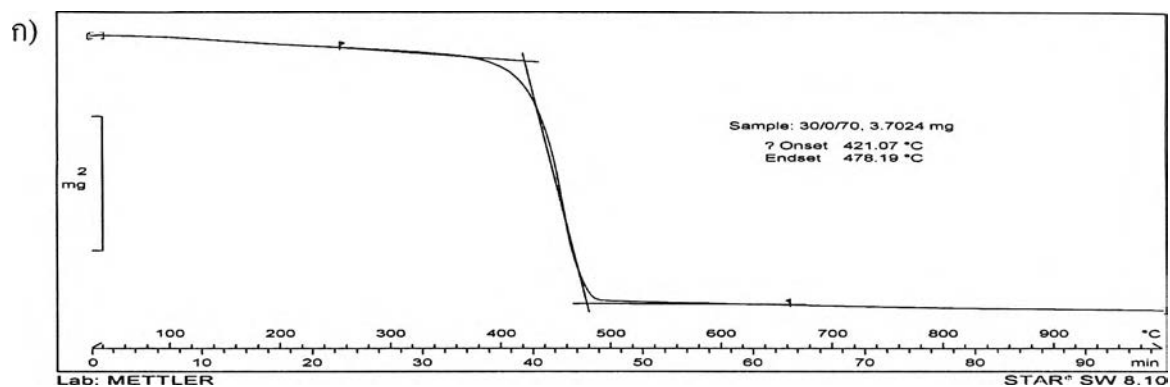
รูปที่ จ-2 กราฟจากการทดสอบด้วยเทคนิค TGA ของ PP-g-MAH ก) เกรดทางการค้า
 ข) ที่เตรียมได้จากพอลิโพรพิลีน MFI 10 ค) ที่เตรียมได้จากพอลิโพรพิลีน MFI 2.4



รูปที่ จ-3 กราฟจากการทดสอบด้วยเทคนิค TGA ของระบบพอลิเมอร์ผสมระหว่างพอลิโพรพิลีน / สารช่วยผสม/พอลิเอไมด์ 6 ก) 70/0/30 ข) 70/5(ทางการค้า)/30 ค) 70/5(MFI 10)/30 ง) 70/5(MFI2.4)/30



รูปที่ จ-4 กราฟจากการทดสอบด้วยเทคนิค TGA ของระบบพอลิเมอร์ผสมระหว่างพอลิโพรพิลีน/
 สารช่วยผสม/พอลิเอไมด์ 6 ก) 70/10(ทางการค้า)/30 ข) 70/10(MFI 10)/30
 ค) 70/10(MFI 2.4)/30



รูปที่ จ-5 กราฟจากการทดสอบด้วยเทคนิค TGA ของระบบพอลิเมอร์ผสมระหว่างพอลิโพรพิลีน/สาร
 ช่วยผสม/พอลิเอไมด์ 6 ก)30/0/70 ข)30/5(ทางการค้า) ค)30/5(MFI10)/70 ง) 30/5(MFI2.4)/70

ประวัติผู้เขียนวิทยานิพนธ์

นางสาวสุชาดา จงประกอบกิจ เกิดเมื่อวันที่ 11 เมษายน พ.ศ. 2524 สำเร็จการศึกษาระดับปริญญาตรีวิศวกรรมศาสตรบัณฑิต สาขาวิชาปิโตรเคมีและวัสดุพอลิเมอร์ คณะวิศวกรรมศาสตร์และเทคโนโลยีอุตสาหกรรม มหาวิทยาลัยศิลปากร ปีการศึกษา 2545 หลังจากนั้นศึกษาต่อในหลักสูตรวิทยาศาสตรมหาบัณฑิต สาขาวิชาวิทยาศาสตร์พอลิเมอร์ประยุกต์และเทคโนโลยีสิ่งทอ ภาควิชาวัสดุศาสตร์ คณะวิทยาศาสตร์ จุฬาลงกรณ์มหาวิทยาลัย เมื่อภาคปลายของปีการศึกษา 2546 และสำเร็จการศึกษาในภาคต้นปีการศึกษา 2548 รวมระยะเวลาในการศึกษา 2 ปี

